

التكوين الجنيني للكيس الغازي في سمكة البعوض *Gambusia affinis*

محمد عبد الهادي غالبي* نكرو عطا ابراهيم** مظفر دخيل محمد**

استلام البحث 11، ايار، 2009
قبول النشر 11، تشرين الاول، 2010

الخلاصة:

تم الحصول على اسماك البعوض *Gambusia affinis* من جداول جامعة بغداد في الجادرية وباطوال تراوحت من 2 - 5,5 سم . اجريت الدراسة لمعرفة التركيب النسيجي والتكون الجنيني للكيس الغازي . اظهرت نتائج الدراسة ان الكيس الغازي في السمكة البالغة يتالف من ردهة واحدة وانه من النوع شبه المغلق اما جداره فيختلف من ثلاثة طبقات .

تظهر بداعه الكيس في جنين السمكة بطول 2,5 ملم على هيئة اندلاق من الجهة اليمنى للاديم الباطن لجدار المعى الامامي ، وانها تتالف من غلافين ، داخلي يتمثل بظهارة عمودية بسيطة وخارجي ينشأ من اديم متوسط غير متميز .

يبدأ ظهور غدة الغاز في الجهة الامامية من جدار الكيس في الجنين بطول 4 ملم وخلال هذه المرحلة تحدث تغيرات شكلية ونسيجية للكيس الغازي وتبرز القناة الهوائية . يحدث تغير في موقع القناة الهوائية لجنين بطول 5 ملم من الجهة اليمنى الى الجهة اليمنى الظهرية لجدار المعى الامامي .

يتميز جدار الكيس الغازي في جنين 7 ملم الى ثلاثة طبقات ، وان بطانته في جنين بطول 8,5 ملم تتكون من نسيج ظهاري متحول . ويكون في يرقة بطول 10 ملم يشابه مثيله البالغ . وفي اليরقة تتحول بطانة الكيس الى نسيج ظهاري حرشفي بسيط عدا الجهة البطنية ويصبح الكيس من النوع شبه المغلق .

الكلمات المفتاحية: الكيس الغازي ، القناة الهوائية

المقدمة:

الخلايا الصلدة اصلها من الجهة اليسرى للمرئ كما في سمكة *Micropterus salmoides* [16] . قد تكون بداعه الكيس الغازي على هيئة كتلة صلدة من خلايا الاديم المتوسط mesodermal cells يخترقها اندلاق اصله من الاديم الباطن لجدار المعى الامامي كما في سمكة *Lepomis cyanellus* [17] او على شكل كتلة من الخلايا الصلدة كما في سمكة *Coregonus polae*a [18] . تختلف اوقات اندلاق الكيس الغازي من سمكة لاخري ، ففي سمكة الكارب الاعتيادي يتكون هذا التركيب عندما يكون طول الجنين 2,5 ملم [15] وفي الاسماك الماصة او المحمية sucker fish يتكون في جنين بطول 3,5 ملم [19] ويكون في اسماك قط الف قال Channel catfish في جنين بطول 8,3 ملم [20] وفي اليরقة بطول 10 ملم لسمكة *Brevoortia tyrannus* [21] فيما يظهر في اليوم الاول بعد الفقس في سمكة *Scophthalmus maximus* [22] .

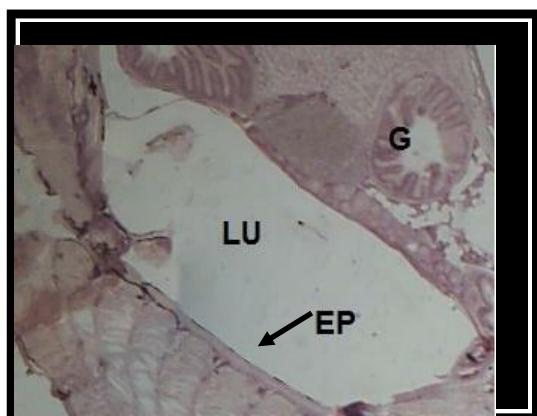
تظهر على جدار بداعه الكيس الغازي تغيرات نسيجية اثناء التكوين الجنيني فقد اشار موريسون وجماعته [23] الى ان جدار بداعه الكيس الغازي مولف من غلافين داخلي يكون اولا على شكل نسيج ظهاري عمودي بسيط simple columnar

يتبعي سمك البعوض *G. affinis* إلى مجموعة الاسماك تامة التعظم [1] ، وهذه السمكة تميز بانتشارها الواسع في العالم لأهميةها في السيطرة على مرض الملاريا [2] ، وهي ذات قدرة على تحمل الملوحة ومديات واسعة من الحرارة قد تصل إلى 30 م واس هيدروجيني pH مفضل يتراوح ما بين 6 – 8 ومرة اضاعة مختلفة [3] . وسمكة البعوض ثنائية الشكل الجنسي [4] والاصباب داخلي [1] وتتراوح مدة الحمل فيها ما بين 5 - 8 اسابيع [5,4] .

بعد الكيس الغازي bladder gas من الاعضاء الداخلية الموجودة في غالبية الاسماك العظمية وله اهمية كبيرة في العموم والتنفس . ويعمل في بعض الاسماك على توليد ونقل الاصوات [6 ، 7 ، 8] . وقد تناولته العديد من الدراسات من جوانب مختلفة ولمختلف انواع الاسماك [6 ، 9 ، 10 ، 11 ، 12] . يختلف عدد ردهات الكيس الغازي في الاسماك ، فقد يتالف من ردهة واحدة كما في سمكة الحفش *Acipenser* او ردهتين امامية وخلفية كما في اسماك الكارب [14] ، اذ تظهر البداعة الاولى على شكل اندلاق evagination المعى الامامي كما في سمكة الكارب الاعتيادي *Cyprinus carpio* [15] او على شكل كتلة من

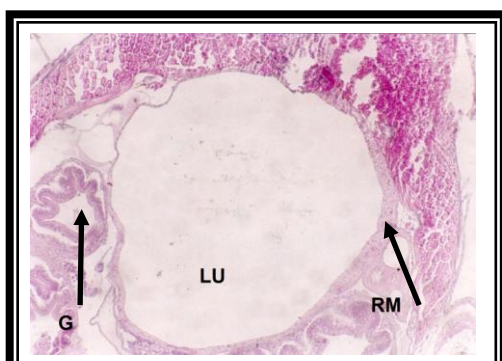
* كلية العلوم للبنات /جامعة بغداد / قسم علوم الحياة

** كلية التربية /جامعة ديالى/قسم علوم الحياة



شكل (1): مقطع سهمي يوضح شكل الكيس الغازي في السمكة البالغة (قوة التكبير $\times 100$)
G= Gut, **EP**= Epithelia layer,
Lu=Lumen

ويرتبط الكيس بالتجويف الظهري عن طريق المساريق، وتعدم القناة الهوائية التي ترتبط بالمعى. تتميز الجهة البطنية الامامية من الكيس الغازي بوجود غدة الغاز Gas gland . أما جدار الكيس الغازي فيتكون من ثلاث طبقات، اذ انه يطん بنسيج ظهاري حرشفي بسيط عدا الجهة البطنية فانها تبطن بنسيج عمودي مطبق كاذب pseudostratified columnar epithelial tissue ، وهذه الطبقة تحاط بنسيج ضام مفكك loose connective tissue تتخلله الياف عضلية ومخاطية وتحاط من الخارج بطبيقة مصلية serosa layer مؤلفة من نسيج ظهاري بسيط (شكل 2) .



شكل (2): مقطع مستعرض للكيس يوضح تباين بطانة الكيس الغازي في الجهة البطنية والجهات الأخرى (قوة التكبير $\times 100$)
Rm = Rete mirabile , **G**= Gut , **Lu**= Lumen

يظهر الجنين بطول 2 ملم على شكل شريط ابيض اللون متصل ببكيس المح ، ذو منطقة راسية

يصبح مكعبا cuboidal ثم حرشفيا epithelium squamous ، اما الخارجي فيتكون من الاديم المتوسط الحشوی mesoderm Splanchnic . [24]

المواد وطرق العمل:

تم الحصول على عينات الاسماك من جداول جامعة بغداد في الجادرية وقد استخدمت في عملية الجمع شبكة يدوية بفتحات ذات ابعاد $2,5 \times 2,5$ سم . وضعت العينات المصطادة في احواض زجاجية مجهزة بمضخات هوائية air pumps ومرشحات للتنظيف filters . غذيت الاسماك بالغذاء الجاهز من نوع tropical من شركة Tokyo اليابانية.

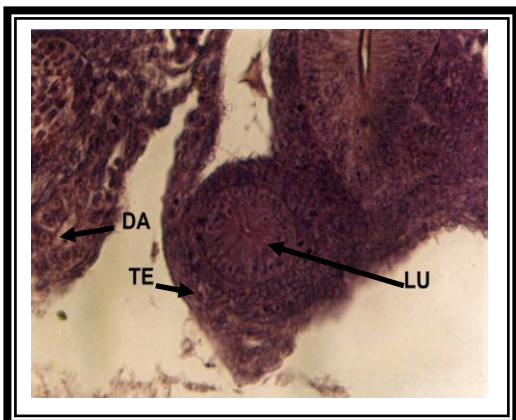
عزلت الحوامل التي يصل طولها إلى 5 سم والمتميزة بوجود بقعتين سوداويتين على جنبي الجهة البطنية للسمكة في احواض زجاجية منفصلة لمراقبة ولادتها ، واخذت اليرقات حديثة الولادة مباشرة ، وغذيت بنفس غذاء الامهات بعد سحقه.

تم تشيرج السمكة البالغة بعد اضافة قليل من المخدر واتبعت طريقة Billett Wild [25] في التشيرج للذكور واتبعت نفس الطريقة في الاناث اذ تم تشيرج حوالي 200 سمكة حامل امك من خلالها الحصول على اجنحة بمراحل مختلفة من النمو الجنيني. قيست اطوال الاجنة الصغيرة باستخدام دوائر معلومة الاقطرار مرسومة على ورق بياني وذلك بسبب شكل الجنين المقوس على المح. اما الاجنة الكبيرة فقد تم ازاله المح عنها ثم قيست بمسطرة اعتمادية مقسمة إلى ملتمرات وكذلك الحال مع اليرقات.

استخدم مثبت بوين الكحولي Alcoholic Boun's fixative [26] لمدة 12 ساعة للاجنة واليرقات و 24 ساعة لتنشيط عينات البالغات ، بعدها حضرت المقاطع النسيجية عن طريق الطمر في شمع البرافين [27] ، وفحصت باستخدام المجهر المركب الضوئي نوع Olympus .

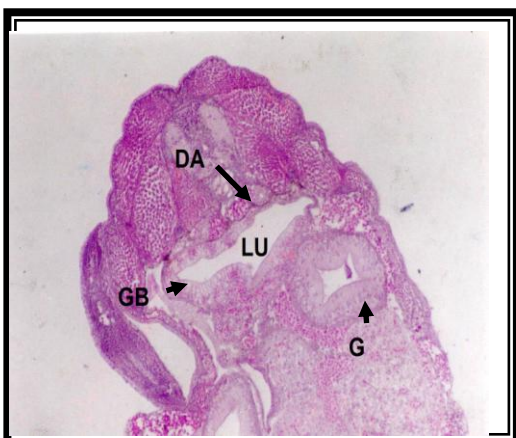
النتائج :

اظهرت نتائج الدراسة ان الكيس الغازي في سمكة البعوض البالغة من النوع شبه المغلق paraphysoclistous ، ويقع في الجهة الظهرية من التجويف الجسمي و الى الاسفل من الحبل الظهري و الى الاعلى من المعى . وهو يتكون من ردهة واحدة كبيرة الحجم اسطوانية الشكل تظهر من الخارج ذات نهاية امامية مدبوبة نوعا ما ونهاية خلفية اكثر اتساعا (شكل 1).



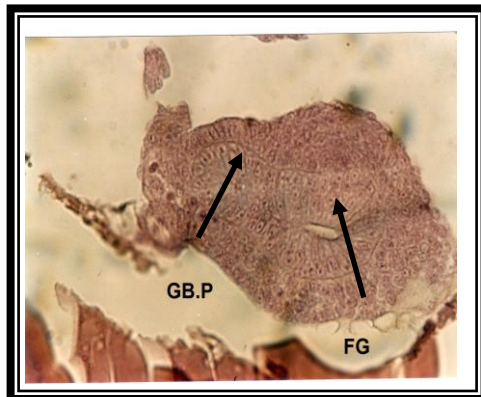
شكل (5): مقطع مستعرض يوضح جدار الكيس في جنين 3 ملم (قوة التكبير $\times 400$)
Lu= Lumen , DA= Dorsal Aorta , TE= Tunica Externa

اما من الناحية النسجية فليس هناك اختلاف في التركيب عن المرحلة السابقة عدا كون الغلاف الخارجي قد اصبح اكثرا سماكا من ذي قبل واستمراره مع الغلاف الخارجي للمعى الامامي. ويتحذ الجنين بطول 4 ملم شكل حرف C ، ويتحرر الذنب من المح ، كما تظهر الزعنفة الذنبية وتميل العينين إلى اللون الرمادي الداكن وتظهر زيادة في صبغة قفى الراس وامتداد الصبغة على الخط الوسطي للجذع والذنب . يصبح بروز القناة الهوائية من الجهة اليمنى للمعى اكثرا وضوها ويتوجه نحو الاعلى ليكون في النهاية الامامية للكيس ويكون محاط بنسيج ضام . وعند ذلك يكون الكيس واقعا إلى الجهة الظهرية من المعى والبطنية من الجبل الظهيري يزداد حجم الكيس الغازي وتتجويفه ويصبح قطره اكبر من قطر المعى وتظهر الشبكة العجيبة بشكل جيد ويتم تزويدها بالدم من الابهة الظهرية (شكل 6).



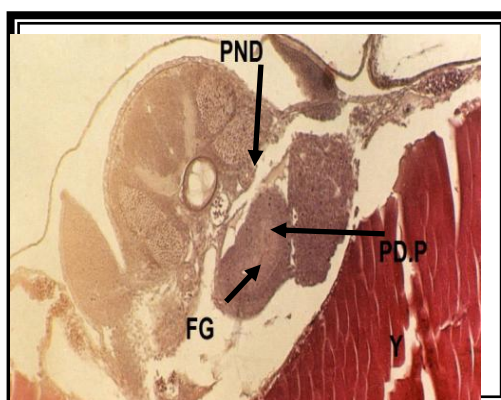
شكل (6): مقطع مستعرض يوضح موقع الكيس الغازي في جنين بطول 4 ملم والتزود الدموي للشبكة العجيبة (قوة التكبير $\times 100$). Lu=Lumen, Gb= Gas Bladder, DA = Dorsal Aorta , G = Gut

متوسعة قليلا ، ويلاحظ على الجسم بداية ظهور الزعنفتين الكتفيتين . يندق الكيس الغازي من الاديم الباطن لجدار المعى الامامي مكونا بدأة الكيس الغازي gas bladder primodium (شكل 3) ويكون جداره من نسيج ظهاري عمودي بسيط وغلاف خارجي مكون من اديم متوسط غير تميز.

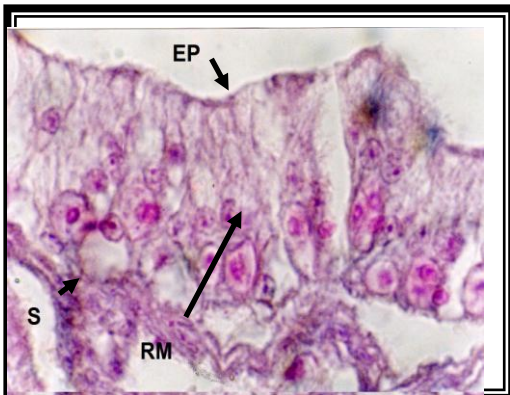


شكل (3): مقطع مستعرض يوضح تشابه بدأة الكيس والمعى نسبياً في جنين 2.5 ملم (قوة التكبير $\times 400$) FG = Fore gut , Y=Yolk , GB.P= Gas Bladder primordium

وفي جنين 3-3.5 ملم تظهر منطقة الراس اكثرا اتساعا من ذي قبل ، ويكون لون العينين رمادي فاتح مع وجود صبغة قليلة في قفى الراس ، وتتوسع الزعنفان الظهيريتان ، ويبدأ ظهور الزعنفة الشرجية بتزداد بدأة القناة الهوائية نموا (شكل 4) وتتأخذ بالامتداد نحو الخلف والزيادة في الحجم متزامنة مع الانفصال عن المعى مكونة الكيس الغازي (شكل 5) .

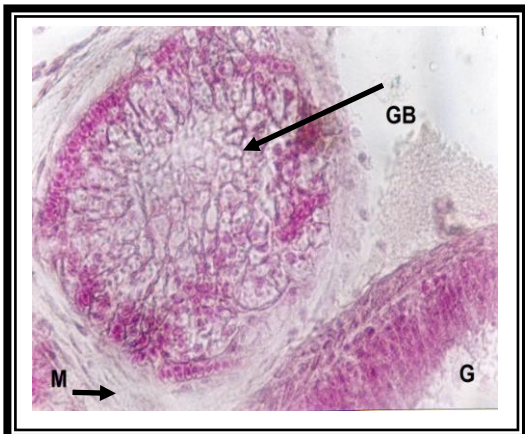


شكل (4): مقطع مستعرض يوضح جهة اندلاع الكيس الغازي في جنين بطول 3 ملم (قوة التكبير $\times 100$). PND = Pronephric duct , PD.P = Pneumatic duct , FG = Fore primordium , Y = yolk Gut



شكل (8): مقطع عرضي يوضح جدار الشبكة العجيبة في جنين 4 ملم (قوة التكبير $1000\times$).
EP= Epithelia RM = Rete mirabilis,
S= Serosa laye layer

وعندما يبلغ طول الجنين ما بين 7-9 ملم فانه يصبح محاطاً بكيس المح والذي يبدو صغيراً جداً وعند ذلك يكون ثلثاً طول الجسم قد أصبح منفصلاً عن المح، ويأخذ الجسم بالميل إلى اللون الغامق وذلك لزيادة الصبغة فيه. كما يزداد حجم الزعناف ويظهر الكيس الغازي متصلاً مع التجويف الظهري عن طريق المساريق في ذات الوقت يظهر جوفه أكثر اتساعاً وبدون أن يطرأ تغييراً نسيجياً على القناة الهوائية (شكل 9).



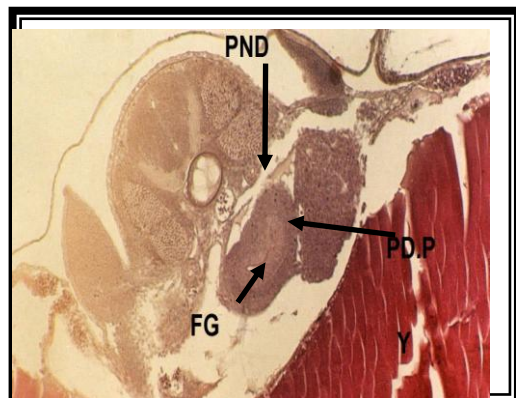
شكل (9): مقطع مستعرض يوضح اتصال الكيس الغازي بالتجويف الظهري بواسطة المساريق في جنين بطول 7 ملم (قوة التكبير $400\times$).
Gb = Gas bladder
M = Mesentery , G = Gut

يتميز جدار الكيس الغازي في جنين بطول 7 ملم إلى ثلاثة طبقات وهي من الداخل إلى الخارج: طقة ظهارية أقرب إلى العمودية عدا الجهة اليسرى التي تبطن بنسيج مكعب بسيط ، وطبقة من نسيج ضام مفك يحتوي على الياف مطاطية طويلة ومتفرقة ، وطبقة مصلية تتكون من نسيج ظهاري

ويظهر التركيب النسيجي لجدار الكيس مختلفاً عن جدار المعي الامامي ذو سمك متماثل من جميع الجهات عدا الجهة اليسرى اذا تكون بطانته مكونة من نسيج ظهاري مكعب بسيط (شكل 7).

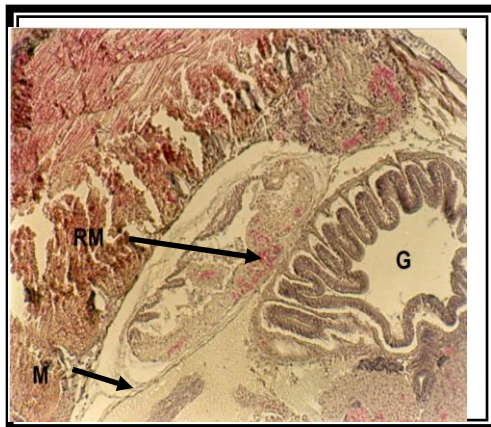
تنتشر الاوعية الدموية بشكل واسع في جدار الكيس خصوصاً في الجهة البطنية والتي تكون فيها الاوعية الشعرية كثيفة مكونة الشبكة العجيبة (شكل 8). وتحاط القناة الهوائية بغلاف داخلي مكون من نسيج ظهاري عمودي بسيط وجدار خارجي مكون من اديم متوسط غير متميز مستمر مع الغلاف الخارجي لردهة الكيس.

يتميز جنين 5 ملم بتركيز الصبغة في قفي الرأس والخط الوسطي الظهري وانتشارها على الجهة الظهرية والجهتين الجانبيتين. تصبح العينان ذات لون اسود، ويزداد حجم الزعنفة الشرجية. وتكون بداعه الزعنفة الذنبية اكثر وضوها من ذي قيل. ينحرف انಡاق القناة الهوائية ويصبح من الجهة الظهرية اليمنى لجدار المعي الامامي وتكون بطانته عبارة عن نسيج ظهاري مكعب بسيط. يصبح النسيج الضام المحيط بالقناة اكثر وضوها ويزداد حجم الكيس الغازي والذي لا يتغير جداره نسيجياً.



شكل (7): مقطع مستعرض يوضح جهة انڈاق الكيس الغازي في جنين بطول 3 ملم (قوة التكبير $100\times$).
PND = Pronephric duct, PD.P = Pneumatic duct
Y = yolk ,FG = Fore primordium Gut

، ونتيجة للنمو السريع لردهة الكيس تظهر القناة الهوائية بشكل عروة صغيرة على مقربة من المعي . يفتح القناة ايضاً بالنهاية الامامية للكيس الغازي ويلاحظ في جنين 9 ملم ان القناة الهوائية اصبحت اقل قطراً بكثير عن المراحل السابقة ويستمر اتصال الكيس الغازي بالتجويف الظهوري بواسطة المساريق ، اما جدار الكيس فلم تظهر عليه تغيرات نسجية عدا طبقة الانسجة الضامة التي تصبح اقل سماكاً ، ويتميز في الجزء البطني من بطانة الكيس غدة الغاز التي تظهر على شكل كثلة من الخلايا ، ويكون شكل الكيس في هذه المرحلة مشابه للبالغ الا انه اصغر حجماً ويكون ذو جوف غير منتظم (شكل 12).



شكل (12): مقطع سهمي يوضح الشكل العام للكيس الغازي في جنين بطول 9 ملم (قوة التكبير $\times 100$).

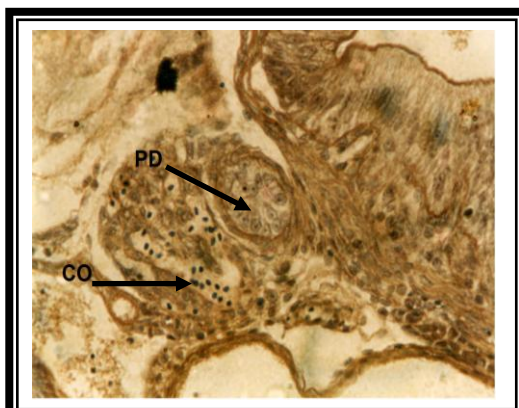
RM = Rete mirabile .
G = Gut , M = Mesentery

المناقشة :

يكون الكيس الغازي في اغلب الاسماك احد ثلاثة انواع وهي : اما متصل مع المعي بواسطة القناة الهوائية فتتسمى مفتوحة الكيس الغازي كما في سمكة *Brevoortia tyrannus* او يكون غير متصل فتدعى بمغلقة الكيس الغازي كما في سمكة *Leiostomus xanthurus* [28] او يظهر تحول تدريجي من حالة إلى أخرى فتدعى بذات الكيس شبه المغلق *paraphysoclistous* . وفي سمكة البعوض فيكون من النوع شبه المغلق وهذه النتيجة تتفق مع ما توصل اليه [13] في دراسته على اسماك *Cyprinodontiformes* .
يتكون الكيس الغازي لسمكة البعوض من ردهة واحدة ذات شكل اسطواني ذو نهاية امامية مدبوبة وخلفية أكثر اتساعاً . وهو بذلك يشابه مثيله في سمكة *Lepomis cyanellus* [17] ، وسمكة *Coryphaenoides armatus* [29] ويختلف عما هو عليه في عائلة اسماك أبو الحناء *Triglidae* ، في حين وجدت كل من البكري

حرشفي بسيط يستند على طبقة رقيقة من نسيج ضام مفكك . ولم يتغير ايضاً موقع اندلاع القناة الهوائية من المعي الامامي في جنين بطول 8 ملم وكذلك موقع افتتاح هذه القناة بالكيس الغازي . اما قطر القناة الهوائية فانه اقل مما هو عليه في المراحل السابقة.

يصبح الكيس الغازي متطاولاً وذي فراغ متلاش وطبيات كثيرة ولا يظهر تغيراً نسيجياً في جداره عدا الزيادة في طبقة الانسجة الضامة المفككة (شكل 10) . طرات عدّة تغيرات على نمو الكيس الغازي في جنين 8,5 ملم ، فردهة الكيس الغازي يظهر عليها نمواً سريعاً وزاد عدد طيات جدار الكيس واصبح تجويفه غير منتظم ، اما بطانته فقد اصبح فيها النسيج الظهاري مكعب بسيط ، بينما تصبح القناة الهوائية على شكل بروز صغير من جدار المعي الامامي (شكل 11)



شكل (10): مقطع مستعرض يوضح جدار الكيس الغازي في جنين بطول 8 ملم(قوة التكبير $\times 400$).

PD = Pneumatic duct,
CO = Connective tissue
FG = Fore Gut



شكل (11): مقط يوضح اندماج القناة الهوائية بجدار الكيس الغازي في جنين 8.5 ملم (قوة التكبير $\times 100$).

GB= Gut Bladder, PD = Pneumatic duct

متلائمة، تحمل الدم إلى غدة الغاز، وهذا ما لاحظه وتروتر وجماعته [37] عند دراسته على سمكة *Latris lineata*.

وقد أظهرت دراسة التركيب النسيجي لبطانة هذه الغدة بأنها عبارة عن ظهارة طبقية عمودية كاذبة، في حين وجدت بريه [38] أن بطانة غدة الغاز في سمكة *Perca fluviatilis* تتكون من ظهارة مكعبية بسيطة. أما في سمكة *Latris lineata* فقد كانت ذات ظهارة عمودية بسيطة وبذلك تكون الغدة مؤلفة من نسيج ظهاري بسيط يسمح بالأفراز.

تكون بداعه الكيس الغازي في سمكة البعوض على هيئة اندلاع من الأديم الباطن لجدار المعى الأمامي، وهو بذلك مشابه لمثيله في سمكتي *Brevoortia* [28] وسمكة *Leiostomus xanthurus* و *tyrannus* وسمكة *Latris lineata* [37]. وهذه النتيجة تتفق مع ما توصل إليه دوي و هور [35,17] في دراستهم التكوين الجنيني للكيس الغازي في سمكة *Lepomis cyanellus* وسمكة *Salmo salar* إذ أشار إلى أن البداءة تظهر على هيئة كتلة صلدة من خلايا ميزوديرمية تُخترق فيما بعد من قبل اندلاع من الأديم الباطن لجدار المعى الأمامي.

تظهر بداعه الكيس الغازي في سمكة البعوض من الجهة الظهرية اليمنى، وهذا ما لوحظ عند دراسة التكوين الجنيني للكيس الغازي في سمكة *Ictalurus punctatus* [20] ، وسمكة الكارب العادي *Cyprinus carpio* [15] لكنها تختلف عما لاحظه زوبرجر وجماعته [39] في سمكة *Anguilla anguilla* و تروتر وجماعته [37] في سمكة *Latris lineata* إذ وجدوا أن جهة اندلاع الكيس الغازي هي الجهة الظهرية لجدار المعى الأمامي.

يختلف وقت ظهور بداعه الكيس الغازي وسرعة نموها تبعاً لنوع السمكة، إذ يبدأ ظهورها في سمكة البعوض في جنين بطول 2.5 ملم، ولا تتفق هذه الدراسة مع ما توصل إليه هور [35] الذي أشار إلى أن ظهورها في سمكة *Salmo* *salar* يكون في الجنين بعمر سبعة أسابيع بعد الأخصاب، في حين ذكر الرواوي [20] أنها تظهر في سمكة جري القناles Channel catfish بطول 8.3 ملم أما في سمكة *Leiostomus xanthurus* فإنها تظهر بعد يومين من الفقس ، وبعد 12 يوم في سمكة *Brevoortia tyrannus* [28] في حين وجدت البكري [15] أنها تظهر في سمكة الكارب العادي عندما يكون طول الجنين 2.5 ملم . أما في سمكة *Latris* وهذا *lineata* فإنها تظهر بعد 2-1 يوم بعد الفقس [37] . التباين في ظهور بداعه الكيس الغازي للأنواع والأجناس المختلفة قد يعود إلى تباين العوامل البيئية والوراثية إذ أوضح رايروف [40] أن معدل التكوين وسرعة

[30,15] أن الكيس الغازي في سمكة الكارب العادي *Cyprinus carpio* مؤلفاً من ردهتين أمامية اسطوانية الشكل وخلفية مستدقة النهاية ترتبان معًا بواسطة قناة موصولة . أما في سمكة *Kurtus gulliveri* فيكون الكيس متوسعاً ويز من الجانب الظهري له ستة أزواج من الفصوص تدعى بالكيسات *Saccules* والتي تحاط بواسطة تحطم رقيق، ويكون الكيس محاطاً من الجانبين بالأضلاع والعضلات بشكل رقيق [31] ويرتبط هذا الاختلاف بنوعية السمكة وبينتها .

يقع الكيس الغازي لسمكة البعوض في التجويف الظهري إلى الأسفل من العمود الفقري والكلية في موقع إلى الأعلى من القناة الهضمية. وهذه النتيجة تتفق مع ما توصل إليه لا كلر [32]. في حين ذكر إيانس [33] أن الكيس الغازي في أسماك *Peristediidae* يقع خلف الصفاقي *retroperitoneally*. يتالف جدار الكيس الغازي في يرقة سمكة البعوض من ثلاث طبقات وهذه النتيجة تتفق مع ما توصل إليه [34] ، في حين ذكر هور [35] أن جدار الكيس الغازي في سمكة سالمون الأطلسي *Atlantic Salmon* يتكون من ثلاثة طبقات وهي من الداخل إلى الخارج طبقة مخاطية تليها طبقة عضلية وسطى، ثم طبقة خارجية برانية. أما في سمكة جري القناة فقد كان جدار الكيس مكون من ظهارة حرشفية وأديم متوسط حشوي ثم غلاف داخلي بعده غلاف خارجي [20] ، ووجد ملينا [12] أن جدار الكيس *Oreochromis alcalicus* الغازي في سمكة *grahami* يتكون من طبقة ظهارية حرشفية ، طبقة غير متميزة من الخلايا و حيز غروي - مطاطي. وحزمة من نسيج عضلي أملس. وآخرها طبقة من نسيج ضام. أما في سمكة الكارب العادي *Cyprinus carpio* فان جدار الكيس مكون من غلافين رئيسيين هما الغلاف الخارجي الذي يشتق من الأديم المتوسط و يكون غير متميزة إلى طبقات ثانية، وغلاف داخلي يتالف من طبقتين ثانويتين مما طبقة خارجية تتألف من نسيج عضلي أملس وتكون رقيقة جدأً لكنها تكون سمكة حول النهاية القاصية للردهة الخلفية، وطبقة داخلية هي عبارة عن ظهارة حرشفية تبطن الكيس عدا النهاية القاصية للردهة الخلفية إذ تكون مكعبية واطنة [15] وهذه الاختلافات تعود لتباين البيانات لهذه الأسماك. أشار فينسنت وبارنس [36] عند دراستهما لاكثر من نوع واحد من الاسماك الى ان غدة الغاز في سمكة *Gadus morrhuis* تقع على السطح الظهري من الكيس الغازي ، أما في سمكة *Zeus faber* فانها تقع على السطح البطني للكيس. وقد ظهرت في الجهة البطنية من جدار الكيس الثاني لسمكة البعوض شبكة عجيبة هي عبارة عن أوعية شعرية شريانية ورديبة موازية لبعضها وبصورة

الداخلي للغاز وبالتالي طبيعة البيئة التي تعيش فيها السماكة.

يمثل الجزء القاصي من اندلاق الكيس الغازي ردهة الكيس فيما يمثل والجزء الداني القناة الهوائية [32] ، وهذا ما اوضحته نتائج الدراسة الحالية. وهذه القناة تفتح في النهاية الامامية للكيس الغازي لسمكة البعوض وهذا ما اشار اليه هاردر [13] في اسماك المصباحية Cyprinodontiformis . في حين ذكر ديو جرازيل وجارو[17] ووتر وجماعته [37] ان القناة الهوائية الجنينية في الاسماك مغلقة الكيس تفتح في النهاية الخلفية للكيس الغازي اظهرت دراسة التركيب النسيجي لجدار القناة الهوائية بأنه يتالف من غلافين ، داخلي يتكون من ظهراء مكعبية بسيطة وغلاف خارجي يتكون من اديم متوسط غير متميز يستمر مع الغلاف الخارجي لجدار ردهة الكيس الغازي وهذه النتيجة تماثل ما توصلت اليها البكري وجماعتها [15] في دراستها لسمكة الكارب العادي .

المصادر:

- 1-Chamber, J. 1987. The Cyprinodontiformes gonopopodium, with an atlas of the gonopodia of the fish of the genus *Limia*. J. Fish Biol., 30:389-418
- 2- Koya, Y.; Fujita, A.; Niki, F.; Ishikara, E. and Miyama, H. 2003. Sex differentiation and pubertal development of gonad in the viviparous mosquito fish, *Gambusia affinis*. Zool. Sci., 20: 1231-1242.
- 3- Al-Daham, N.K. and Bhatti, M. N.1977. Salinity tolerance of *Gambusia affinis* (Baird and Girard) and *Heteropneustes fossilis* (Bloss). J. Fish Biol. 11:309-313.
- 4- Howell, W.M.; Black, D. A. and Bortone, S. A. 1980. Abnormal expression of secondary sex characters in a population of mosquito fish *Gambusia affinis* Holbrook: evidence for environmentally induced masculinization. J. Copeia 14:676-680.
- 5- Wheeler, A.1985. The world encyclopedia of fishes 2nd McDonald, London, ppixv-367.

النمو يعتمدان على كمية الأوكسجين المتوفر ودرجة حرارة الوسط الذي يحدث فيها النمو.

يكون الكيس الغازي في سماكة البعوض من النوع المفتوح في جميع المراحل الجنينية ثم يتحول الى النوع المغلق بعد الولادة (مرحلة اليرقة) وهذا ما وجده ديو [17] في سمكة *Lepomis macroceims* وما توصل إليه تروتر وجماعته [8] في سمكة *Latris lineata* الذين أشاروا الى أن القناة الهوائية تخفي في المراحل المتأخرة من النمو الجنيني. وتختلف هذه النتيجة عما لاحظه الرواوي [20] في سمكة جري القنال والبكري [15] في سمكة الكارب العادي إذ لاحظا ان القناة الهوائية لاتختفي في جميع مراحل حياة السمكة أي أنها تكون من النوع المفتوح.

بينت الدراسة الحالية أن جدار بدأة الكيس الغازي مؤلف من غلافين، داخلي يتالف من نسيج ظهاري بسيط في جنين بطول 2.5 ملم ثم يصبح أقرب الى النسيج العمودي البسيط ، وتكون الخلايا القاعدية في حالة انقسام، وتكون البطانة في الجهة اليسرى في جنين 4 ملم عبارة عن نسيج ظهاري مكعب بسيط تتحول الى نسيج ظهاري متتحول ذو أشكال خلوية عديدة في جنين بطول 8.5 ملم ومنها تتحول الى نسيج ظهاري حرشفي بسيط عدا الجهة البطانية إذ تتكون من نسيج ظهاري حرشفي مطبق في يرقة بطول 10 ملم. وهذه النتيجة مشابهة لما توصل إليه موريسون وجماعته [23] وجودسيل وجماعته [24] من تحول الخلايا الظهارية الى خلايا حرشفية ومن ثم فأن تعدد الأشكال هو تحول مرحمي في الخلايا نحو نوع معين.

اما الغلاف الثاني (نحو الخارج) فإنه يتكون من اديم متوسط غير متميز الى طبقات ثانوية، وتنتفق هذه النتيجة مع ما توصل إليه الرواوي [20] وتروتر وجماعته[37] .

بينت الدراسة الحالية أن جوف الكيس الغازي في جنين 4 ملم يظهر متوسعاً بشكل كبير. ومع تقدم مراحل النمو يتلاشى ويصبح ذو طيات كثيرة في جنين بطول 8 ملم. ويعزى تلاشي جوف الكيس الغازي الى زيادة سمك طبقة الأنسجة الضامة المفككة، في حين عزا تروتر وجماعته [37] توسيع جوف الكيس الغازي في سمكة *Latris lineata* الى امتلاء بالسوائل.

يتباين جدار الكيس الغازي خلال المراحل المتأخرة من النمو الجنيني لسمكة البعوض الى ثلاث طبقات ، ويزداد وضوح هذه الطبقات في جنين بطول 7 ملم ، في حين ذكرت البكري وجماعتها [15] ان جدار الكيس الغازي يتميز إلى ثلاثة طبقات في جدار الردهة الخلفية في يرقة بطول 7,7 ملم وفي جدار الردهة الامامية في يرقة بطول 13 ملم ، وان عدد ونوعية هذه الطبقات يعكس مدى الضغط

- 14- نيازي، أنور داود 1985. علم الأسماك. الجزء الأول، مطبعة جامعة بغداد، الصفحات 407-366.
- 15-البكري، نهلة عبد الرضا والراوي، عبد الحكيم أحمد والأعظمي، محمد أمين 1999. التكوين الجنيني للكيس الغازي في سمكة الكارب العادي *Cyprinus carpio* L. الطبيب البيطري العراقي Veterinarian 127-116 (3):9
- 16- Johnston, P.M. 1953. The embryonic development of the swim bladder of the large mouth blackbass, *Micropterus salmoides salmoides* (Lacepede). J. Morph, 93(1):45-67.
- 17- Duwe, A.E. 1955. The development of the gas bladder in the green sunfish *Lepomis cyanellus*, Copeia 1955 , 2:92-95.
- 18- Vogt, C. 1842. Embryologie des Salmons (In: Agassiz L. Histoire Naturelle des poisons D'eans Douce De L Europe Centrale) Neuchatel.326P. (Cited by Duwe,1955).
- 19- Nelson,E.M.1959. The embryology of the swim bladder in the common Sucker, *Catostomus commersoni* (Lacepede). Amer. Midi. Natur, 61(1): 245-252.
- 20- Al-Rawi, A.H. 1966. The development of the weberian apparatus and swim bladder in the channel Cat fish *Ictalurus punctatus* (Rafinesque) unpublished Ph. D. thesis, Okla. USA.
- 21- Hoss, D.E. and Blaxter, J. H.S. 1982. Development and function of the swim bladder-inner ear-lateral line system in the Atlantic menhaden, *Brevoortia tyrannus*, Latrobe. J. Fish Biol, 20:138-142.
- 22- Cousin, J. C.B. and Bandin, L.F. 1985. Morphogenesis of the digestive system and swim bladder of the turbot *Scophthalmus maximus* L. J.Aquaculture, 47:305-319.
- 6- Parmentier, E.; Gennotte, V.; Focant, B.; Goffinet, G. and Vandewalle, P. 2003. Characterization of primary sonic muscles in *carapus* ((Carapidae): A multidisciplinary approach Proceeding of the R. Soc. of Lond ., Part B, 270:2301-2308.
- 7- Robinson, E. and Friedlander, D. 2004. Functional morphology of the swim bladder in the teleosts. Organogenesis Symposium. 2nd Annual Bio. 217. Dec.7, 2004. bowdoin College, Druckenmiller.20
- 8- Trotter, A.J.; Pankhurst, P.M. and Battaglene, S.C. 2005. Buoyancy control and diel changes in swim bladder volume in cultured striped trumpeter *Latris lineata* larvae. J. Marine and fresh water Research 56(4):361-370.
- 9- Egloff, M., 1996. Failure of swim bladder inflation of perch *Perca fluviatilis* L. found in natural populations., J. Aquatic Sci. Res. 58(1):15-23.
- 10- Bond, C. E.1996. Biology of fishes, 2nd ed From Web: pp 283-290.
- 11- Robinson, E. and Friedlander, D. 2004. Functional morphology of the swim bladder in the teleost. Organogenesis Symposium. 2nd Annual Bio. 217. Dec.7, 2004. bowdoin College, Druckenmiller.20
- 12- Maina, J.N. 2000. Functional morphology of the gas-gland cells of the air-bladder of *Oreochromis alcalicus grahami* (Teleoste: Cichlidae): an ultra structural study on a fish adapted to a severe, highly alkaline environment. J. pubmed , 32(2): 17-32.
- 13- Harder, W. 1975. Anatomy of Fish.(Part 1 and 2) E. Schweizebarts'che verlagsbuchhandluny (Nageleu. Obermiller) Stuttgart.

- 32- Lagler, K.F.; Bardach, J.E. and Miller, R.R. 1962. *Ichthyology*. John Wiley and Sons. Inc., New York. London,pp:xv+506.
- 33- Evans, R. R. 1973. The swim bladder and associated structures in western Atlantic Sea Robins (Triglidae)., *J. Copeia* (2):315-322.
- 34- Werns, S. and Howland, H .1974. Size and allometry of the Scculor air bladder of *Ganthonemus petersi* (Pisces: Mormyridae): implication for hearing. *J. Ichthyological*, ,(1):200-202.
- 35- Hoar, W.S. 1937. The development of the swim bladder of the Atlantic Salmon. *J. Morph.*, 61(2):309-319.
- 36- Vincent, S. and Barnes, A.S.1896. On the structure of the red gland in the swim bladder of certain fish. With note on their possible function. *J. Anat. Physiol.* 30(4):545-558.
- 37- Trotter, A.J.; Pankhurst, P.M. and Battaglene, S.C. 2004. Morphological development of the swim bladder in hatchery-reared striped trumpeter *Latris lineata*. *J. Applied Ichthyology*, vol. pp 20:395.
- 38- Prem, C.; Salvenmoser, W.; Wurtz, J. and Pelster, B.2000. Swim bladder gas gland cells produce surfactant: *in vivo* and in culture *J. Physiol Regul . Integr . Comp. Physiol.* Vol. 279: 2330-2343.
- 39- Zwerger, P.; Nimeth, K.; Wurtz, J.; Salvenmoser, W. and Pelster, B. 2002.development of the swim bladder in the European eel *Anguilla anguilla*. *J., Cell and Tissue Research.* Vol 307(2):155-164.
- 40- Rayabove, I.N. 1973. Embryonic and larval development characteristic of hybrids of Silver carp *Hypothalmichthys molitrix* and Estern brean *Abromis brama*. *J. Ichthyol.* , 13:701-715.(Cited by Salman, 1999).
- 23- Morrison, C.M.; Miyake, T. and Wright, J.R. 2001. Histological study of the development of the embryo and early larvae of *Oreochromis niloticus* (Pisces: Cichlidae). *J. Morphology*, 247(2):172-195.
- 24-Goodsell, A., Wikeley, D. and Searle,L.2006.Histological investigation of swim bladder morphology and inflation in cultured larval striped trumpeter (*latris lineata*) (Teleostei, Latridae) *J.Marine and fresh water Research* .vol.47 (2) 251-254.
- 25- Billett, F.S. and Wild, A.B. 1975. Practical studies of animal development. Chapman and Hall Co., London
- 26- Humason, G.L. 1967. Animal tissue techniques. 2nd W.H. Freeman Co., San Francisco
- 27- Bancroft, J. and Stevens, A. 1982. Theory and practice of histological techniques, 2nd ed. Churchill Livingstone, London. 109-120.
- 28- Govoni, J. J. and Hoss, E. D. 2001. Comparison of the development and function of the swim bladder of *Brevoortia tyrannus* (Clupeidae) and *Leiostomus xanthurus* (Sciaenidae). *J. Copeia* , 1(2):430-442.
- 29- Bowne, P.S. 1982. Swim bladder deposits: occurrence and morphology in macrouridae, Moridae and ophidiformes. *J. Copeia* (1):205-208.
- 30- Sanowski, Piotr. 2004. The effects metals on swim bladder in flatation of common carp *Cyprinus carpio* L. larvae. *Electronic Journal of polish Agricultural Universities Fisheries* Vol (7): Issue (1).
- 31- Carpenter, K.E.; Berra, T.M. and Humphries, J.M. 2004. Swim bladder and posterior lateral line nerve of the Nursery fish, *Kurtus gulliveri* (Perciformes: Kurtidae). *J. Morphology.*, 260:193-200.

Development of Embryo Gas Bladder in mosquito fish *Gambusia affinis*

Mohammed A. Gali *

Thgikra A. Ibraheem**

Mudhir D. Mohammed**

* College for science for women, University of Baghdad

** College of Education, University of Diyala

Abstract:

2 - 5,5 cm mosquito fishes (*Gambusia affinis*) were collected from brooks of Baghdad university .

This study aimed to identify the histological structure and embryonic development of the gas bladder .

The results revealed that the gas bladder of the adult fish consists of single chamber, paraphysoclistous , and its wall consist of three layers.

The primordium of the gas bladder appears in 2,5 mm fish embryo as an evagination from the right side of endoderm of foreguts wall. This primordium consists of two thecae, inner, is simple columnar epithelium and outer originates from undifferentiated mesoderm. Simultaneously with the appearance of gas gland in the ventral side of the sac in 4 mm embryo, morphological and histological changes have taken place for it. However the pneumatic duct protrude Change occurs in the site of pneumatic duct in 5mm embryo from the right side into dorsal right side of the forgut wall.

In 7mm embryo , the wall of the gas bladder distinguish in to three layers and the endothelium of it consists of changeful epithelium (in 8<5mm embryo). The gas bladder of 10mm larva is a similar with that of adult fish .

The endothelium of it changes to simple squamous epithelium except that of ventral side, and the gas bladder transform to paraphysoclistous